

**Дополнительные пояснения  
к работе В.В. Кромера «Арктангенс или логиста?  
(К вопросу диахронического скачка)»**

В обсуждаемой работе (ОР) приведена формула (1) для плотности распределения  $p(x) = \frac{A}{x^{1+\alpha}}$  лингвистической инертности  $x$ . С учетом ограниченности ресурсов источника лингвистического воздействия (ИЛВ), характеризуемого внутренним сопротивлением  $R$ , формула (1) при распространении ее на область всех действительных  $x \in (-\infty, \infty)$  принимает вид

$p(x) = \frac{A}{R + |x|^{1+\alpha}}$ , где  $A$  – нормирующий множитель, определяемый исходя

из условия  $\int_{-\infty}^{+\infty} p(x)dx = 1$ . В ОР рассмотрен частный случай с наиболее типичным значением  $\alpha = 1$ , соответствующим закону Ципфа. Далее в ОР показано, что решение дифференциального уравнения (ДУ)  $\frac{dF(t)}{dt} = rF^\beta(t)(1 - F(t))^\beta$  при  $\beta = 2$  близко к функции распределения, задаваемой плотностью  $p(x) = \frac{A}{1+x^2}$  при соответствующей нормировке. В ходе частной переписки по ОР одним из корреспондентов был задан вопрос, почему выбрано именно значение  $\beta = 2$ . Для ответа приходится рассмотреть наиболее общий случай  $p(x) = \frac{A}{1+|x|^{1+\alpha}}$  при различных значениях

$\alpha \in (0, \infty)$ . Для “хвостов” распределения (при  $|x| \gg 1$ ) пренебрегаем внутренним сопротивлением ИЛВ (ИЛВ работает с малой нагрузкой в режиме, близком к режиму “холостого хода”), откуда  $p(x) \approx \frac{A}{|x|^{1+\alpha}}$ . В

области малых значений  $F(t)$ , где  $x \ll -1$ ,

$F(t) = \int_{-\infty}^x p(x)dx \approx \int_{-\infty}^x \frac{A}{|x|^{1+\alpha}} dx = \frac{A}{\alpha|x|^\alpha}$ , откуда  $\frac{dF(t)}{dt} = \frac{\alpha \left( \frac{1}{|x|^\alpha} \right)}{A} F \left( \frac{1}{|x|^\alpha} \right)$ . Итак, в

области малых  $x$  (в начале процесса ДС)  $\frac{dF(t)}{dt} = rF^\beta(t)$ , где  $r = \frac{\alpha \left( \frac{1}{|x|^\alpha} \right)}{A}$ , а

$\beta = 1 + \frac{1}{\alpha}$ . Исходя из соображений симметрии распространяем формулу на

область  $x \in (-\infty, \infty)$ :  $\frac{dF(t)}{dt} = rF^\beta(t)(1 - F(t))^\beta$ . При  $\alpha = 1$  получаем  $\beta = 2$ .

Именно этот случай и рассматривается в ОР. ДС осуществляется согласно функции распределения Коши. При  $\alpha > 2$  распределение  $F(t)$  гауссово [1, с. 107], чему соответствует  $\beta < 1,5$ . Под этот случай подпадает логистическое распределение с  $\beta = 1$  ( $\alpha$  очень велико). Негауссовым распределениям соответствует  $\alpha < 2$  [там же] и  $\beta > 1,5$ . Под этот случай подпадает рассмотренный в ОР случай  $\beta = 2$  с ходом процесса ДС, близким к функции распределения Коши (см. рис. 2 в ОР).

Рассмотрим устойчивость распределения с плотностью  $p(x) = \frac{A}{1 + |x|^{1+\alpha}}$  к

изменениям параметра  $\alpha$ . Значение  $R$  далее принимается равным 1, поскольку изменение  $R$  вносит непринципиальные для нашего рассмотрения изменения масштаба. Далее также не делается разница между  $x$  и  $t$ , поскольку согласно ОР  $x = t - t_0$ , а  $t_0$  принимаем равным 0. Значения  $A$ , опре-

деленные согласно условию  $\int_{-\infty}^{+\infty} p(x)dt = 1$  по формуле

$$A = \frac{1}{\int_{-\infty}^{+\infty} \frac{1}{1+|x|^{1+\alpha}}} = \frac{0,5}{\int_0^{+\infty} \frac{1}{1+x^{1+\alpha}}} \text{ приведены в таблице 1 в зависимости от } \alpha.$$

Таблица 1

| $\alpha$                       | 0        | 0,5                               | 1                        | 2                                 | 3                               |
|--------------------------------|----------|-----------------------------------|--------------------------|-----------------------------------|---------------------------------|
| $A$                            | 0        | $\frac{3\sqrt{3}}{8\pi} = 0,2067$ | $\frac{1}{\pi} = 0,3183$ | $\frac{3\sqrt{3}}{4\pi} = 0,4135$ | $\frac{\sqrt{2}}{\pi} = 0,4502$ |
| $\beta = 1 + \frac{1}{\alpha}$ | $\infty$ | 3                                 | 2                        | 1,5                               | $\frac{4}{3}$                   |
| $\frac{A_1}{A_\alpha}$         | $\infty$ | $\frac{8}{3\sqrt{3}} = 1,5396$    | 1                        | $\frac{4}{3\sqrt{3}} = 0,7698$    | $\frac{1}{\sqrt{2}} = 0,7071$   |

Проинтегрировав  $F(t) = \int_{-\infty}^x p(x)dx = \int_{-\infty}^x \frac{A}{1+|x|^{1+\alpha}}$ , получаем следующие зависимости для хода диахронического скачка:

$\alpha = 0,5$

$$F(t) = 0,5 + \operatorname{sgn}(x_\alpha) \left( 0,125 - \frac{\sqrt{3}}{8\pi} \ln \frac{(1+\sqrt{|x_\alpha|})^2}{1-\sqrt{|x_\alpha|}+|x_\alpha|} + \frac{3}{4\pi} \operatorname{arctg} \frac{2\sqrt{|x_\alpha|}-1}{\sqrt{3}} \right), \quad (1)$$

где  $\operatorname{sgn}(z)$  – сигнум-функция  $\operatorname{sgn}(z) = \begin{cases} 1, & \text{если } z > 0, \\ 0, & \text{если } z = 0, \\ -1, & \text{если } z < 0. \end{cases}$  [2, с. 1129].

$\alpha = 1$

$$F(t) = 0,5 + \frac{1}{\pi} \operatorname{arctg} x_\alpha. \quad (2)$$

$\alpha = 2$

$$F(t) = 0,5 + \operatorname{sgn}(x_\alpha) \left( 0,125 + \frac{\sqrt{3}}{8\pi} \ln \frac{(1+|x_\alpha|)^2}{1-|x_\alpha|+|x_\alpha|^2} + \frac{3}{4\pi} \operatorname{arctg} \frac{2|x_\alpha|-1}{\sqrt{3}} \right). \quad (3)$$

$\alpha = 3$

$$F(t) = 0,5 [\theta(x_\alpha + 1) + \theta(x_\alpha - 1)] + \frac{1}{4\pi} \left( \ln \frac{x^2 + \sqrt{2}x_\alpha + 1}{x^2 - \sqrt{2}x_\alpha + 1} + 2 \operatorname{arctg} \frac{\sqrt{2}x_\alpha}{1-x_\alpha^2} \right), \quad (4)$$

где  $\theta(z)$  – функция Хевисайда  $\theta(z) = \begin{cases} 1, & \text{если } z \geq 0, \\ 0, & \text{если } z < 0. \end{cases}$  [3, с. 1107].

Нанесение зависимостей по (1, 2, 3, 4) от аргумента  $x$  на один график нецелесообразно, поскольку все зависимости характеризуются отличающимися значениями полуинтерквартильной широты. Производная от  $F(t)$  (значение  $p(x)$ ) при  $x = 0$  равна  $A$ . На рис. 1 представлены зависимости согласно (1, 2, 3, 4) от значения аргумента  $x_\alpha = \frac{A_1}{A_\alpha} x$ , где  $A_\alpha$  – значение  $A$  при рассматриваемом  $\alpha$ , а  $A_1$  – значение  $A$  при  $\alpha = 1$  (выбрано произвольно в качестве эталона для сравнения). Подобное представление позволяет сравнивать распределения по поведению их «хвостов» при  $x \rightarrow -\infty$  либо  $x \rightarrow +\infty$ .

Значения  $\frac{A_1}{A_\alpha}$  приведены в таблице 1 в зависимости от  $\alpha$ . В ОР сравниваемые зависимости нормировались по совпадению 2 и 4 квартили, что приближенно эквивалентно использованной здесь нормировке по производной  $F(t)$  при  $x=0$  ввиду незначительного отклонения зависимостей  $F(t)$  от прямой в средней части. На рис. 1 нанесены также логистическая зависимость и функция нормального распределения, также с соответствующей нормировкой по производной  $F(0)$ , что требует умножения аргумента логистической функции на  $\frac{4}{\pi}$ , а аргумента функции нормального распределения на  $\sqrt{\frac{2}{\pi}}$ .

На рис. 1 нанесены также логистическая зависимость и функция нормального распределения, также с соответствующей нормировкой по производной  $F(0)$ , что требует умножения аргумента логистической функции на  $\frac{4}{\pi}$ , а аргумента функции нормального распределения на  $\sqrt{\frac{2}{\pi}}$ .

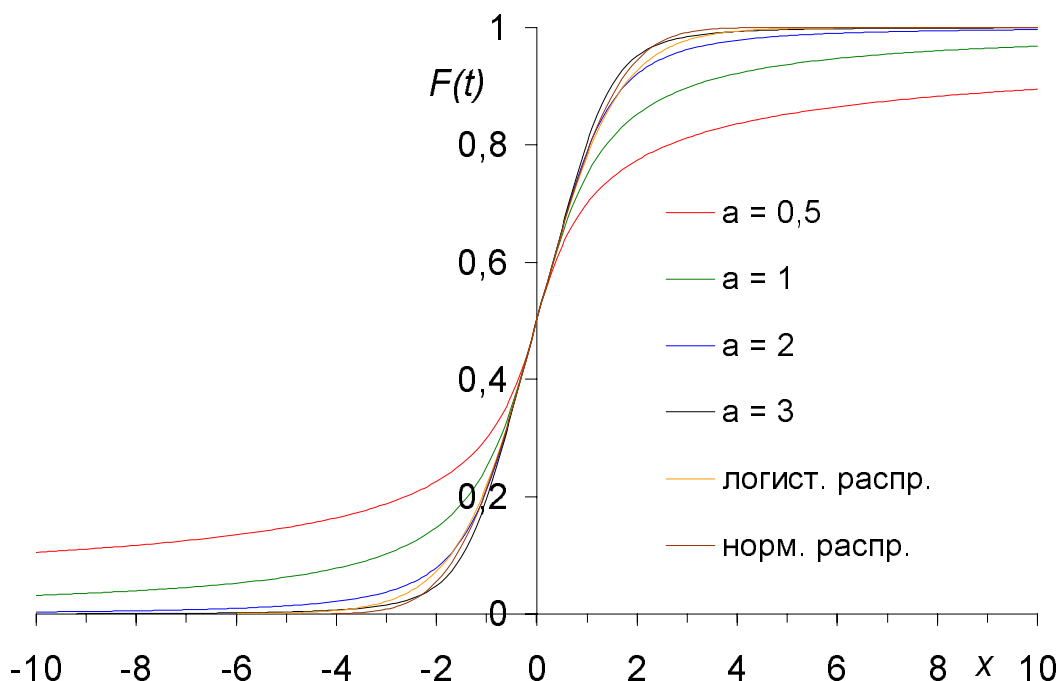


Рис. 1.

Видно, что распределения Циффа-Парето с  $\alpha=2$ ,  $\alpha=3$ , логистическое и нормальное распределения незначительно разнятся (лежат в узкой полосе  $\pm 1,9\%$  от некоторого «среднего» распределения, см. рис. 2).

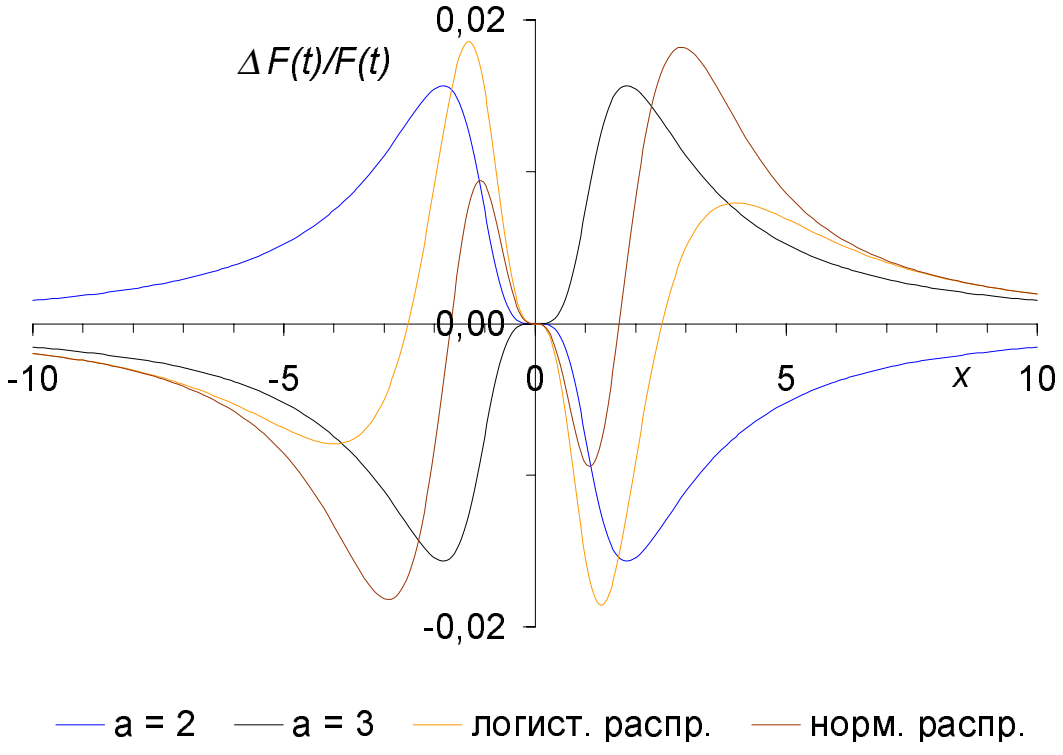


Рис. 2.

В ОР зависимость, полученная интегрированием цифровой плотности  $p(x) = \frac{A}{1+x^2}$ ; ( $\alpha = 1$ ), сравнивалась с зависимостью, полученной путем

решения дифференциального уравнения  $\frac{dF(t)}{dt} = rF^2(t)(1-F(t))^2$ ; ( $\beta = 2$ ), и устанавливалось, что зависимости близки. Покажем, что подобные параллельные зависимости существуют и для других сочетаний  $\alpha$  и  $\beta$ , связанных соотношением  $\beta = 1 + \frac{1}{\alpha}$ . Найдем решения дифференциального уравнения

$\frac{dF(t)}{dt} = rF^\beta(t)(1-F(t))^\beta$  при начальном условии  $F(-\infty) = 0$ :  
 $\beta = 1,5$

$$x = \frac{1}{r\sqrt{1-F(t)}} \left( 4\sqrt{F(t)} - \frac{2}{\sqrt{F(t)}} \right). \quad (5)$$

$$\beta = 2$$

$$x = \frac{1}{r} \left( \frac{1}{1-F(t)} - \frac{1}{F(t)} - 2 \ln \frac{1-F(t)}{F(t)} \right). \quad (6)$$

$\beta = 3$

$$x = \frac{1}{r} \left( \frac{1}{2(1-F(t))^2} - \frac{1}{2F^2(t)} + \frac{3}{1-F(t)} - \frac{3}{F(t)} - 6 \ln \frac{1-F(t)}{F(t)} \right). \quad (7)$$

Производная  $\frac{dF(t)}{dt}$  при  $x=0$  равна  $\frac{dF(t)}{dt} = rF^\beta(0)(1-F(0))^\beta = 0,5^{2\beta}r$ . В таблице 2 приведены значения  $A_\beta$  – производной  $\frac{dF(t)}{dt}$  зависимостей (5, 6, 7) и значения  $r$ , обеспечивающие значение  $A_\beta = \frac{1}{\pi}$  (значение  $A_1$  согласно таблице 1).

Таблица 2

| $\beta$   | 1,5             | 2                | 3                |
|-----------|-----------------|------------------|------------------|
| $A_\beta$ | $\frac{1}{8}r$  | $\frac{1}{16}r$  | $\frac{1}{64}r$  |
| $r$       | $\frac{8}{\pi}$ | $\frac{16}{\pi}$ | $\frac{64}{\pi}$ |

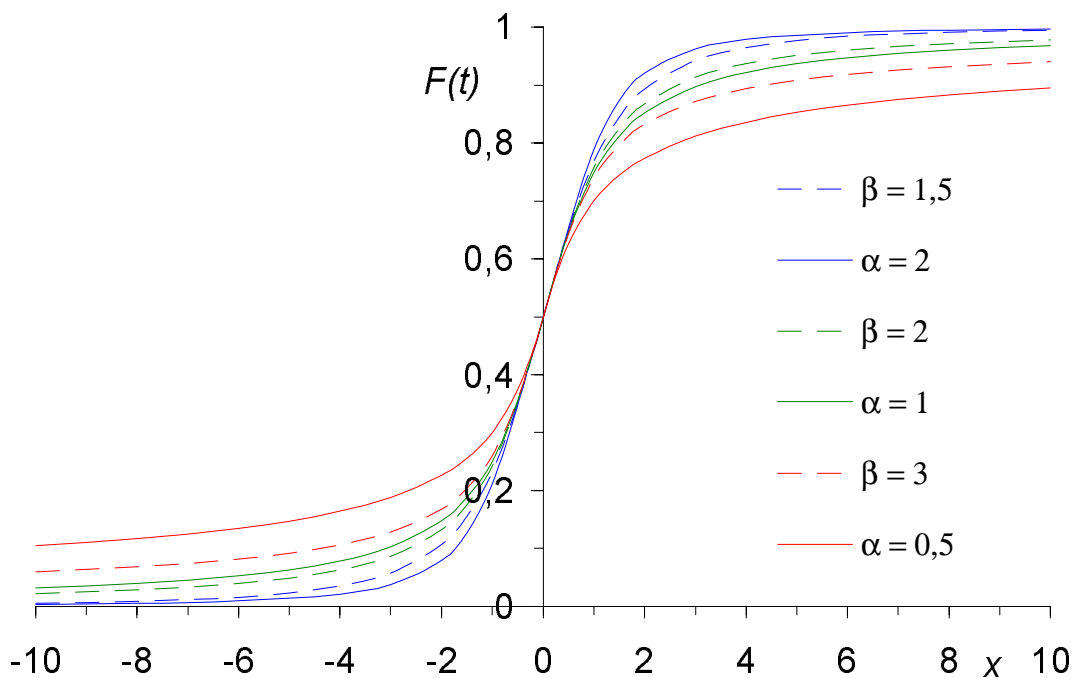


Рис. 3.

На рис. 3 нанесены нормализованные по  $\frac{dF(t)}{dt}$  зависимости (1, 2, 3) и соответственно (7, 6, 5). Видно, что попарно близки зависимости (1)–(7), (2)–(6) и (3)–(5), т.е. связанные выведенным соотношением  $\beta = 1 + \frac{1}{\alpha}$ . Остаточная разница между сравниваемыми зависимостями может быть объяснена приближенностью выведенного соотношения  $\beta = 1 + \frac{1}{\alpha}$  и может быть уменьшена небольшой коррекцией параметров. Так, из рис. 3 видно, что зависимость для  $\beta = 3$  (где расхождение наибольшее для сравниваемых трех пар) будет соответствовать зависимости с несколько большим значением  $\alpha$ , чем предписываемое значение  $\alpha = 0,5$ . Существующая тесная связь между процессами, протекающими в соответствии с распределением Ципфа-Парето с плотностью  $p(x) = \frac{A}{1+|x|^{1+\alpha}}$  и решением дифференциального уравнения  $\frac{dF(t)}{dt} = rF^\beta(t)(1-F(t))^\beta$  может быть интерпретирована в терминах эволюции материи от гауссовых природных систем к негауссовым социальным через промежуточные биологические системы и дальнейшее развитие все более творческих видов человеческой деятельности [1, с. 111]. С ростом творческого наполнения вида человеческой деятельности уменьшается параметр распределения Ципфа-Парето  $\alpha$  [там же], что в соответствии с формулой  $\beta = 1 + \frac{1}{\alpha}$  ведет к увеличению  $\beta$ . Значение

$\beta = 0$  свойственно развитию неживой материи. Система ведет себя как единый элемент, связь в системе единственная (система замкнута на самое себя). При  $\beta = 1$  имеем гауссову систему ( $\alpha$  очень велико, в пределе  $\alpha = \infty$ ), что соответствует гауссову нецифровому распределению [1, с. 107], например логисте. Количество связей в системе совпадает с количеством элементов системы  $N$ , т.е. каждый элемент замкнут на самое себя. Связи между элементами отсутствуют. При  $\beta = 2$  количество связей в системе равно  $N^2$ , т.е. двусторонней связью связаны все возможные в системе пары. Развитие в системе осуществляется согласно функции распределения Коши или близкому к нему. При  $\beta = 3$  система отражается в каждом из своих элементов, т.е. каждый элемент подобен всей системе. «В каждой капле воды отражается океан». «Хвосты» распределения еще более длинные, чем «хвосты» распределения Коши. С дальнейшим ростом  $\beta$  количество связей составляет  $N^\beta$ , система все более фрактализируется.

Дробным значениям  $\beta$  соответствуют промежуточные варианты. Рассмотрим пример с  $1 < \beta < 2$ . Фрактальность отсутствует, каждый элемент имеет  $N^{\beta-1} < N$  связей, т.е. элемент связан не с каждым из  $N$  элементов системы. Взамен детерминированных связей (случай при  $\beta = 2$ ) выступают вероятностные. С вероятностью  $q_1 = 1$  реализуется лишь связь на самое себя, все элементы (включая рассматриваемый) ранжируются по вероятности установления связи  $q_n$  (зависящей, например, от пространственного расположения элементов) от 1 до минимальной, где  $n$  – ранг элемента (от 1 до  $N$ ).

Условие нормировки –  $\sum_{n=1}^N q_n = N^{\beta-1}$ . Заменив сумму ряда интегралом, получаем одно из возможных приближенных решений  $q_n = \frac{\beta-1}{n^{2-\beta}}$ , точность которого возрастает с ростом  $n$ .

Заключая, делаем вывод, что характер динамических процессов в системе определяется размерностью связей, распределением вероятностей установления связей между элементами, степенью самоподобия в системе. Случай с  $\beta = 2$  наиболее типичен, поскольку отвечает распределению Ципфа-Парето с наиболее типичным значением  $\alpha = 1$ .

### Литература

1. Хайтун С.Д. Проблемы количественного анализа науки. М.: Наука, 1989.
2. Математическая энциклопедия / Гл. ред. И.М. Виноградов. Т. 4. М.: Советская Энциклопедия, 1984.
3. Математическая энциклопедия / Гл. ред. И.М. Виноградов. Т. 3. М.: Советская Энциклопедия, 1984.